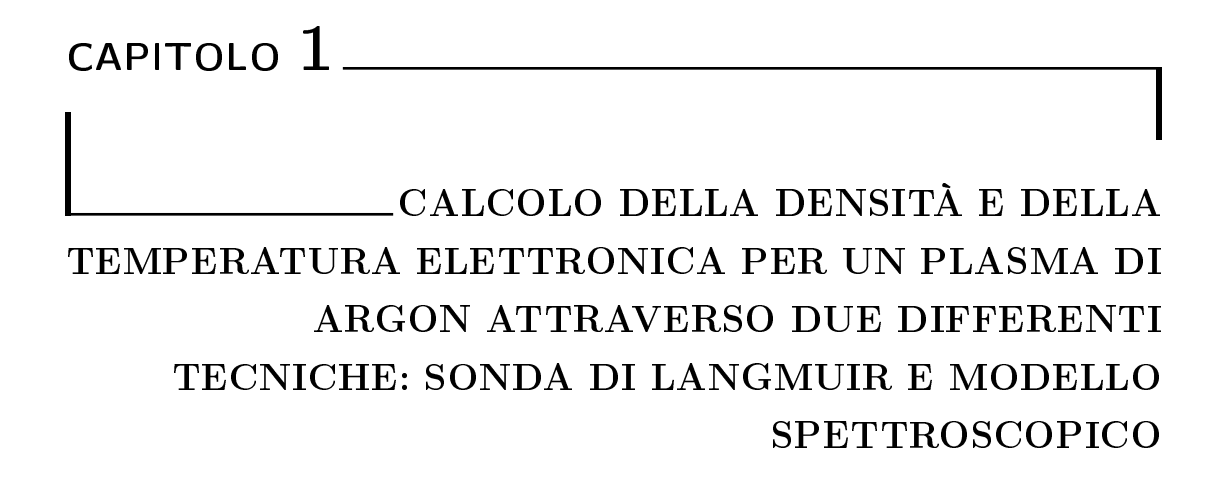
Università degli Studi di Milano-Bicocca



Facoltà di Scienze Matematiche, Fisiche e Naturali Corso di Laurea Magistrale in Fisica

Relazioni degli esperimenti svolti presso il CNR

 $\label{eq:Relazioni} Relazioni~di:$ Magatti Demetrio, Muscente Paola e Rigoletti Gianluca



L'obiettivo di questo esperimento è quello di verificare l'effettiva validità del modello spettroscopico per calcolare la densità e la temperatura elettronica di un plasma di Argon.

È stato fatto un confronto tra i dati acquisiti tramite sonda di Langmuir e tramite spettroscopia ottica per verificarne la conformità. Si è quindi visto che l'applicazione del modello spettroscopico è un buon metodo sostitutivo di diagnostica nei casi in cui la sonda di Langmuir non è idonea: per esempio, vi sono casi in cui è necessario avere una particolare configurazione del campo magnetico che non sempre garantisce la perpendicolarità tra le linee del suddetto e l'area di acquisizione della sonda. In quest'ultimo caso gli errori sui dati acquisiti sarebbero grandi e risulta quindi necessario avere un sistema di diagnostica differente quale è la spettroscopia ottica.

1.1 Strumenti utilizzati e il loro funzionamento: sonda di Langmuir e spettroscopio ottico

1.1.1 Sonda di Langmuir

1.1.2 Spettroscopio ottico

1.2 Condizioni sperimentali e analisi dati

Le condizioni sperimentali utilizzate sono le seguenti:

- corrente delle bobine di GyM fissa a 600A;
- due differenti flussi di Argon, 0.5sccm e 3.0sccm;
- tre diverse potenze per le microonde, 20%, 40%, 60%.

Pressione dei neutri a plasma spento con flusso di Argon a 0.5sccm: $P_n = 3.1 \cdot 10^-5$ mbar Pressione dei neutri a plasma spento con flusso di Argon a 3.0sccm: $P_n = 1.73 \cdot 10^-4$ mbar

Osservazioni

I primi dati raccolti in laboratorio sono stati quelli a Flusso_{Ar} = 0.5sccm e con potenza delle microonde al 40%. In questi dati si può notare la mancanza della pressione dei neutri durante l'acquisizione degli spettri. Successivamente si è deciso di registrare anche P_{neutri} per tenere monitorata l'intera condione di acquisizione dati.

Le variazioni di potenza delle microonde sono state effettuate riportando di volta in volta il gas alla condizione di "non-plasma" e aspettando lo stabilizzarsi della pressione in camera al valore registrato precedente alla prima accensione del plasma.

Gli accorgimenti di qui sopra sono stati fatti per mantenere le condizioni del sistema il più possibile invariate, così da poter confrontare i dati raccolti a diversi flussi e potenze in modo consistente.

L'accensione del plasma, nel caso di plasma di Argon, è visibile anche attraverso una salita della pressione in camera che raggiunge un *plateau* dopo qualche secondo dall'accensione delle microonde.

1.2.1 Analisi dati: profilo di densità a diverse pressioni e potenze

GRAFICI E COMMENTI

1.2.2 Analisi dati: profili di temperatura a diverse pressioni e potenze

GRAFICI E COMMENTI

1.2.3 Descrizione del programma utilizzato per l'analisi dati

In Allegato(VA FATTO RIFERIMENTO) viene riportato il programma scritto per l'analisi dei dati.

DESCRIVIAMO A GRANDI LINEE COSA FA

1.3 Conclusioni finali

BLA BLA

1.4 File dati

1.4.1 File utilizzati per Flusso di Argon a 0.5sccm

Potenza microonde 20%

Caratteristiche tensione-corrente della sonda di Langmuir:

File name	P_n [mbar]
2302 lang 04	$5.37 \cdot 10^{-5}$
2302 lang 05	$4.96 \cdot 10^{-5}$

File name	$\lambda_{ m range}/\lambda_{ m centre} \; [m nm]$	AT [s] ⁽¹⁾	P_n [mbar]
2302 speca 10	300 - 600	0.5	$5.04 \cdot 10^{-5}$
2302 speca 11	600 - 800	0.01	$5.00\cdot10^{-5}$
2302 speca 12	480	0.5	$5.00\cdot10^{-5}$
2302 speca 13	480	0.5	$5.00\cdot10^{-5}$
2302 speca 14	480	0.5	$4.96 \cdot 10^{-5}$
2302 speca 15	750	0.01	$4.96 \cdot 10^{-5}$
2302 speca 16	750	0.01	$4.96 \cdot 10^{-5}$
2302 speca 17	750	0.01	$4.96 \cdot 10^{-5}$

Potenza microonde 40%

Caratteristiche tensione-corrente della sonda di Langmuir:

File name	P_n [mbar]
2302 lang 01	$8.5\cdot10^{-5}$
2302 lang 02	$7.5 \cdot 10^{-5}$
2302 lang 03	$7.3\cdot 10^{-5}$

Spettri raccolti:

File name	$\lambda_{ m range}/\lambda_{ m centre} \; [m nm]$	AT [s] ⁽²⁾
2302speca1	300 - 600	0.5
2302 speca 2	600 - 800	0.01
2302 speca 3	480	0.5
2302 speca 4	750	0.01
2302 speca 5	750	0.01
2302 speca 6	750	0.01
2302 speca 7	480	0.5
2302 speca 8	480	0.5

Potenza microonde 60%

Caratteristiche tensione-corrente della sonda di Langmuir:

File name	P_n [mbar]
2302 lang 06	$4.06 \cdot 10^{-5}$
2302 lang 07	$4.04\cdot10^{-5}$

File name	$\lambda_{ m range}/\lambda_{ m centre} \; [m nm]$	AT $[s]^{(3)}$	P_n [mbar]
2302 speca 18	300 - 600	0.5	$3.99 \cdot 10^{-5}$
2302 speca 19	600 - 800	0.01	$3.99\cdot10^{-5}$
2302 speca 20	480	0.5	$3.99\cdot10^{-5}$
2302 speca 21	480	0.5	$3.99\cdot10^{-5}$
2302 speca 22	480	0.5	$3.99 \cdot 10^{-5}$
2302 speca 23	750	0.01	$4.02\cdot10^{-5}$
2302 speca 24	750	0.01	$4.02\cdot10^{-5}$
2302 speca 25	750	0.01	$4.02 \cdot 10^{-5}$

File utilizzati per Flusso di Argon a 3.0sccm

Potenza microonde 20%

Caratteristiche tensione-corrente della sonda di Langmuir:

File name	P_n [mbar]
2302lang08 2302lang09	$1.88 \cdot 10^{-4}$ $1.89 \cdot 10^{-4}$

Spettri raccolti:

File name	$\lambda_{ m range}/\lambda_{ m centre} \; { m [nm]}$	AT $[s]^{(4)}$	P_n [mbar]
2302speca 26	300 - 600	1.0	$1.89 \cdot 10^{-4}$
2302 speca 27	600 - 800	0.01	$1.83 \cdot 10^{-4}$
2302 speca 28	480	1.0	$1.89\cdot 10^{-4}$
2302 speca 29	480	1.0	$1.89\cdot 10^{-4}$
2302 speca 30	480	1.0	$1.89 \cdot 10^{-4}$
2302 speca 31	750	0.01	$1.89 \cdot 10^{-4}$
2302 speca 32	750	0.01	$1.89 \cdot 10^{-4}$
2302speca33	750	0.01	$1.89 \cdot 10^{-4}$

Potenza microonde 40%

File name	P_n [mbar]
2302 lang 10	$1.99 \cdot 10^{-4}$
2302 lang 11	$2.00\cdot 10^{-4}$

Spettri raccolti:

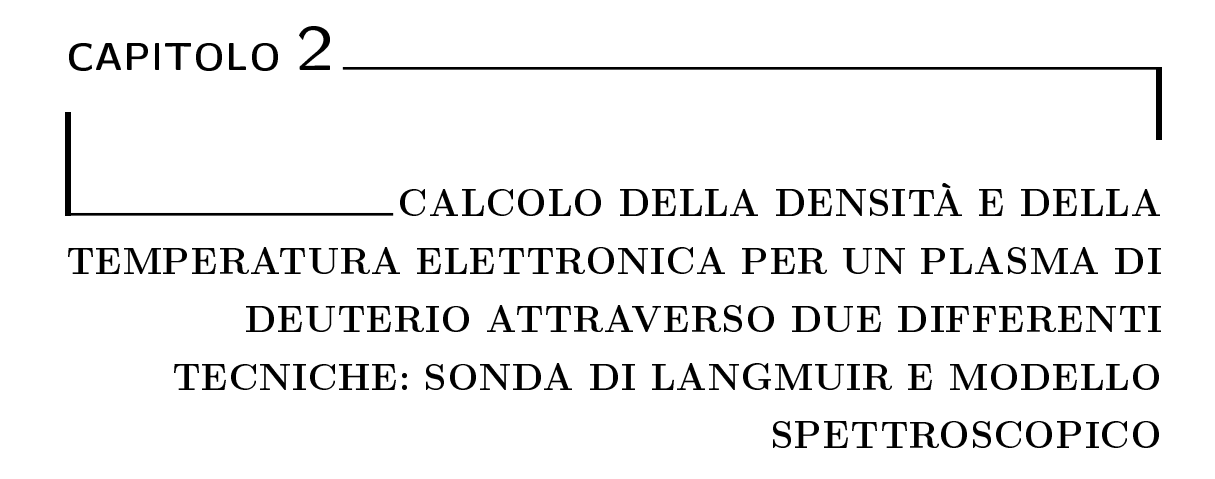
File name	$\lambda_{ m range}/\lambda_{ m centre} \; { m [nm]}$	AT [s] ⁽⁵⁾	P_n [mbar]
$\frac{}{2302 speca 34}$	300 - 600	0.5	$2.00 \cdot 10^{-4}$
2302 speca 35	600 - 800	0.01	$2.00 \cdot 10^{-4}$
2302 speca 36	480	0.5	$2.00\cdot10^{-4}$
2302 speca 37	480	0.5	$2.00\cdot10^{-4}$
2302 speca 38	480	0.5	$2.00\cdot10^{-4}$
2302 speca 39	750	0.01	$2.00 \cdot 10^{-4}$
2302 speca 40	750	0.01	$2.00 \cdot 10^{-4}$
2302 speca 41	750	0.01	$2.00\cdot10^{-4}$

Potenza microonde 60%

Caratteristiche tensione-corrente della sonda di Langmuir:

File name	P_n [mbar]
2302 lang 12	$2.01\cdot10^{-4}$
2302 lang 13	$2.01\cdot10^{-4}$

File name	$\lambda_{ m range}/\lambda_{ m centre} \; [m nm]$	AT $[s]^{(6)}$	P_n [mbar]
$\frac{2302speca42}{2302speca42}$	300 - 600	0.5	$2.01 \cdot 10^{-5}$
2302speca43	600 - 800	0.01	$2.01\cdot10^{-5}$
2302 speca 44	480	0.5	$2.01\cdot10^{-5}$
2302 speca 45	480	0.5	$2.01\cdot10^{-5}$
2302 speca 46	480	0.5	$2.01\cdot10^{-5}$
2302 speca 47	750	0.01	$2.01\cdot10^{-5}$
2302 speca 48	750	0.01	$2.01\cdot10^{-5}$
2302 speca 49	750	0.01	$2.01\cdot10^{-5}$



L'obiettivo di questo esperimento è il medesimo dell'esperimento precedente ma questa volta lo studio viene effettuato su un plasma di Deuterio.

2.1 Strumenti utilizzati e il loro funzionamento: sonda di Langmuir e spettroscopio ottico

Per descrizione dettagliata degli strumenti vedi capitolo precedente, Sezione 1.1.

2.2 Condizioni sperimentali e analisi dati

Le condizioni sperimentali utilizzate sono le seguenti:

- corrente delle bobine di GyM fissa a 600A;
- due differenti pressioni di Deuterio, $1.70 \cdot 10^{-4}mbar$ (circa 45sccm di flusso) e $3.88 \cdot 10^{-5}mbar$ (circa 10sccm di flusso);

• diverse potenze per le microonde, 20%, 30%, 40%, 50% e 60%.

Osservazioni

A differenza dell'esperimento precedente, si è deciso di mantenere costanti le due pressioni di gas a plasma spento, con valori scelti di $1.70 \cdot 10^{-4} mbar$ e $3.88 \cdot 10^{-5} mbar$, piuttosto che mantenerne fisso il flusso. Per mantenere le pressioni tali si sono operate a volte delle leggere variazioni di flusso di Deuterio.

Le variazioni di potenza delle microonde sono state effettuate riportando di volta in volta il gas alla condizione di "non-plasma" e aspettando lo stabilizzarsi della pressione ai due valori indicati predentemente per uno e l'altro caso.

Gli accorgimenti di qui sopra sono stati fatti per mantenere le condizioni del sistema il più possibile invariate, così da poter confrontare i dati raccolti a diversi flussi e potenze in modo consistente.

L'accensione del plasma, nel caso di plasma di Deuterio, è visibile anche attraverso una discesa seguita da una salita della pressione in camera che raggiunge un plateau dopo qualche secondo dall'accensione delle microonde. A bassa pressione e bassa potenza delle microonde, $3.88 \cdot 10^{-5}$ con 20% di potenza, si è visto che l'accensione del plasma avviene senza un abbassamento precedente alla salita della pressione.

2.2.1 Analisi dati: profilo di densità a diverse pressioni e potenze

GRAFICI E COMMENTI

2.2.2 Analisi dati: profili di temperatura a diverse pressioni e potenze

GRAFICI E COMMENTI

2.2.3 Descrizione del programma utilizzato per l'analisi dati

In Allegato(VA FATTO RIFERIMENTO) viene riportato il programma scritto per l'analisi dei dati.

DESCRIVIAMO A GRANDI LINEE COSA FA

2.3 Conclusioni finali

BLA BLA

2.4 File dati

2.4.1 File utilizzati per pressione di Deuterio a $1.70 \cdot 10^{-4} mbar$

Potenza microonde 20%

Caratteristiche tensione-corrente della sonda di Langmuir:

File name	P_n [mbar]
2702 lang 01	$1.73\cdot 10^{-4}$

Spettri raccolti:

File name	$\lambda_{ m range}/\lambda_{ m centre} \; [m nm]$	AT [s] ⁽¹⁾	P_n [mbar]
2702 specde1	400 - 500	0.2	$1.75\cdot 10^{-4}$
2702 specde 2	400 - 500	0.2	$1.75\cdot 10^{-4}$
2702 specde 3	400 - 500	0.2	$1.75\cdot 10^{-4}$
2702 specde 4	656	0.05	$1.75\cdot 10^{-4}$
2702 specde 5	656	0.05	$1.75\cdot 10^{-4}$
2702 specde 6	656	0.05	$1.75\cdot 10^{-4}$

Potenza microonde 30%

Caratteristiche tensione-corrente della sonda di Langmuir:

File name	P_n [mbar]
2702 lang 16	$1.88 \cdot 10^{-4}$
2702 lang 17	$1.88\cdot10^{-4}$

File name	$\lambda_{ m range}/\lambda_{ m centre} \; [m nm]$	AT $[s]^{(2)}$	P_n [mbar]
2702 specde 49	400 - 500	0.2	$1.87\cdot 10^{-4}$
2702 specde 50	400 - 500	0.2	$1.88\cdot10^{-4}$
2702 specde 51	400 - 500	0.2	$1.88 \cdot 10^{-4}$
2702 specde 52	656	0.05	$1.88 \cdot 10^{-4}$
2702 specde 53	656	0.05	$1.88 \cdot 10^{-4}$
2702 specde 54	656	0.05	$1.88 \cdot 10^{-4}$

Potenza microonde 40%

Caratteristiche tensione-corrente della sonda di Langmuir:

File name	P_n [mbar]
2702 lang 02	$1.78 \cdot 10^{-4}$
2702 lang 03	$1.80 \cdot 10^{-4}$

Spettri raccolti:

File name	$\lambda_{ m range}/\lambda_{ m centre} \; [m nm]$	AT $[s]^{(3)}$	P_n [mbar]
2702 specde7	400 - 500	0.2	$1.80\cdot10^{-4}$
2702 specde 8	400 - 500	0.2	$1.80\cdot10^{-4}$
2702 specde 9	400 - 500	0.2	$1.80\cdot10^{-4}$
2702 specde 10	656	0.05	$1.80 \cdot 10^{-4}$
2702 specde 11	656	0.05	$1.80 \cdot 10^{-4}$
2702 specde 12	656	0.05	$1.80 \cdot 10^{-4}$

Potenza microonde 50%

Caratteristiche tensione-corrente della sonda di Langmuir:

File name	P_n [mbar]
2702 lang 18	$1.84 \cdot 10^{-4}$
2702 lang 19	$1.86\cdot 10^{-4}$

Spettri raccolti:

File name	$\lambda_{ m range}/\lambda_{ m centre} \; [m nm]$	AT [s] ⁽⁴⁾	P_n [mbar]
2702 specde 55	400 - 500	0.2	$1.86 \cdot 10^{-4}$
2702 specde 56	400 - 500	0.2	$1.86\cdot 10^{-4}$
2702 specde 57	400 - 500	0.2	$1.86 \cdot 10^{-4}$
2702 specde 58	656	0.05	$1.86 \cdot 10^{-4}$
2702 specde 59	656	0.05	$1.86 \cdot 10^{-4}$
2702 specde 60	656	0.05	$1.86 \cdot 10^{-4}$

Potenza microonde 60%

File name	P_n [mbar]
2702 lang 04	$1.80 \cdot 10^{-4}$
2702 lang 05	$1.81\cdot 10^{-4}$

Spettri raccolti:

File name	$\lambda_{ m range}/\lambda_{ m centre} \; [m nm]$	AT $[s]^{(5)}$	P_n [mbar]
2702 specde 13	400 - 500	0.2	$1.80 \cdot 10^{-4}$
2702 specde 14	400 - 500	0.2	$1.80\cdot10^{-4}$
2702 specde 15	400 - 500	0.2	$1.80 \cdot 10^{-4}$
2702 specde 16	656	0.05	$1.80 \cdot 10^{-4}$
2702 specde 17	656	0.05	$1.80 \cdot 10^{-4}$
2702 specde 18	656	0.05	$1.80 \cdot 10^{-4}$

2.4.2 File utilizzati per pressione di Deuterio a $3.88 \cdot 10^{-5} mbar$

Potenza microonde 20% (Flusso 9.5sccm)

Caratteristiche tensione-corrente della sonda di Langmuir:

File name	P_n [mbar]
2702 lang 12	$5.00 \cdot 10^{-5}$
2702 lang 113	$4.92\cdot10^{-5}$

Spettri raccolti:

File name	$\lambda_{ m range}/\lambda_{ m centre} \; [m nm]$	AT [s] ⁽⁶⁾	P_n [mbar]
2702 specde 37	400 - 500	0.2	$4.96 \cdot 10^{-5}$
2702 specde 38	400 - 500	0.2	$4.96\cdot10^{-5}$
2702 specde 39	400 - 500	0.2	$4.96\cdot10^{-5}$
2702 specde 40	656	0.05	$4.92 \cdot 10^{-5}$
2702 specde 41	656	0.05	$4.92 \cdot 10^{-5}$
2702 specde 42	656	0.05	$4.92 \cdot 10^{-5}$

Potenza microonde 30%

File name	P_n [mbar]
2702 lang 14	$4.85 \cdot 10^{-5}$
2702 lang 15	$4.92 \cdot 10^{-5}$

Spettri raccolti:

File name	$\lambda_{ m range}/\lambda_{ m centre} \; [m nm]$	AT $[s]^{(7)}$	P_n [mbar]
2702 specde 43	400 - 500	0.2	$4.87 \cdot 10^{-5}$
2702 specde 44	400 - 500	0.2	$4.92\cdot10^{-5}$
2702 specde 45	400 - 500	0.2	$4.92 \cdot 10^{-5}$
2702 specde 46	656	0.05	$4.92 \cdot 10^{-5}$
2702 specde 47	656	0.05	$4.92 \cdot 10^{-5}$
2702 specde 48	656	0.05	$4.92 \cdot 10^{-5}$

Potenza microonde 40%

Caratteristiche tensione-corrente della sonda di Langmuir:

File name	P_n [mbar]
2702 lang 06	$4.35 \cdot 10^{-5}$
2702 lang 07	$4.51 \cdot 10^{-5}$

Spettri raccolti:

File name	$\lambda_{ m range}/\lambda_{ m centre} \; [m nm]$	AT [s] ⁽⁸⁾	P_n [mbar]
2702 specde 19	400 - 500	0.2	$4.45 \cdot 10^{-5}$
2702 specde 20	400 - 500	0.2	$4.47 \cdot 10^{-5}$
2702 specde 21	400 - 500	0.2	$4.50 \cdot 10^{-5}$
2702 specde 22	656	0.05	$4.51\cdot 10^{-5}$
2702 specde 23	656	0.05	$4.51\cdot 10^{-5}$
2702 specde 24	656	0.05	$4.51 \cdot 10^{-5}$

Potenza microonde 50%

File name	P_n [mbar]
2702 lang 08	$4.80 \cdot 10^{-5}$
2702 lang 09	$4.95 \cdot 10^{-5}$

Spettri raccolti:

File name	$\lambda_{ m range}/\lambda_{ m centre} \; [m nm]$	AT $[s]^{(9)}$	P_n [mbar]
2702 specde 25	400 - 500	0.2	$4.84 \cdot 10^{-5}$
2702 specde 26	400 - 500	0.2	$4.84 \cdot 10^{-5}$
2702 specde 27	400 - 500	0.2	$4.84 \cdot 10^{-5}$
2702 specde 28	656	0.05	$4.84 \cdot 10^{-5}$
2702 specde 29	656	0.05	$4.91\cdot10^{-5}$
2702 specde 30	656	0.05	$4.91 \cdot 10^{-5}$

Potenza microonde 60%

Caratteristiche tensione-corrente della sonda di Langmuir:

File name	P_n [mbar]
2702 lang 10 $2702 lang 11$	$6.04 \cdot 10^{-5}$ $6.69 \cdot 10^{-5}$

File name	$\lambda_{ m range}/\lambda_{ m centre} \; [m nm]$	AT $[s]^{(10)}$	P_n [mbar]
2702 specde 31	400 - 500	0.2	$6.22 \cdot 10^{-5}$
2702 specde 32	400 - 500	0.2	$6.22\cdot10^{-5}$
2702 specde 33	400 - 500	0.2	$6.23 \cdot 10^{-5}$
2702 specde 34	656	0.05	$6.45 \cdot 10^{-5}$
2702 specde 35	656	0.05	$6.66 \cdot 10^{-5}$
2702 specde 36	656	0.05	$6.69 \cdot 10^{-5}$